

ID1 对大鼠 C6 细胞侵袭转移能力的影响 *

田 刚¹ 樊明新¹ 陈祖容² 徐 英¹ 杨江河¹ 卢 宁³ 李 华¹ 张翼冠^{4△}

(1 兰州军区乌鲁木齐总医院神经外科 新疆 乌鲁木齐 830000; 2 福建省莆田市涵江区顶铺街 366 号涵江医院神经外科 福建 莆田 351111; 3 兰州军区乌鲁木齐总医院肿瘤科 新疆 乌鲁木齐 830000; 4 四川省中医药科学院 四川 成都 610041)

摘要 目的: 观察 ID1 对大鼠胶质瘤细胞(C6 细胞) 侵袭转移能力的影响。方法: 以 C6 细胞为研究对象, ID1 siRNA 通过脂质体转染 C6 细胞, western blot 检测 C6 细胞中 ID1、P-NF-K Bp65 蛋白的表达、Elisa 法检测细胞培养上清 MMP-9 的含量, Transwell 小室观察成的转移侵袭能力。结果: 干扰 ID1 后能显著降低 C6 细胞中 P-NF-K Bp65 蛋白、细胞培养上清中 MMP-9 的含量($P<0.01$), 降低 C6 细胞的转移侵袭能力($P<0.01$)。结论: 干扰 ID1 能抑制 C6 细胞的转移侵袭, 其机制可能与抑制 C6 细胞中 P-NF-K Bp65 蛋白、MMP-9 的表达有关。

关键词: NF-K Bp65; MMP-9; ID1; 侵袭力

中图分类号: Q95-3, R730.231 文献标识码: A 文章编号: 1673-6273(2011)21-4047-03

The effect of ID1 on invasive ability of C6*

TIAN Gang¹, FAN Ming-xin¹, CHEN Zu-rong², XU Ying¹, YANG Jiang-he¹, LU Ning³, LI Hua¹, ZHANG Yi-Guan^{4△}

(1 Department of neurosurgery of Urumqi General Hospital in Lanzhou Military Area Command, Urumqi 830000;

2 Department of Neurosurgery, The Hanjiang Hospital of Putian City, Putian, 351111;

3 Department of medical oncology of Urumqi General Hospital in Lanzhou Military Area Command, Urumqi 830000;

4 Sichuan Academy Of Chinese Medicine Sciences, Chengdu 610041)

ABSTRACT Objective: To study the effect of ID1 on invasive ability of C6. **Methods:** C6 cells were divided into control, non sense, ID1 siRNA groups. The effects of ID1 siRNA on C6 cells invasive ability in vitro was measured by Boyden chamber invasive models. Contents of ID1, NF-K Bp65, MMP-9 protein were detected by western blot and ELISA methods, respectively. **Result:** In ID1 siRNA group, contents of NF-K Bp65 and MMP-9 protein were decreased markedly($P<0.01$), the invasive ability was decreased markedly($P<0.01$), too. **Conclusion:** ID1 could increase the invasive ability of C6 cell.

Key words: NF-K Bp65; MMP-9; C6; Invasive ability

Chinese Library Classification(CLCC): Q95-3, R730.231 **Document code:** A

Article ID: 1673-6273(2011)21-4047-03

肿瘤的侵袭转移是肿瘤患者治疗失败的主要原因, 研究肿瘤的侵袭转移机制对肿瘤的诊断治疗具有重要意义。近年来研究显示分化抑制因子 Id1 作用于多种信号途径而参与人类恶性肿瘤的发生发展^[1,2], 随着 Id1 蛋白促进肿瘤发生发展侵袭转移的相关分子机制深入研究, Id1 靶向治疗恶性肿瘤愈发受到人们的关注。胶质瘤是颅内发病率最高的肿瘤, 本实验拟研究 Id1 在胶质瘤的发生及侵袭转移中的作用, 进一步明确胶质瘤侵袭的分子调控机制, 为临床开展抗胶质瘤治疗提供理论依据。

1 材料与方法

1.1 细胞

C6 细胞株购自中科院上海细胞库。

1.3 试剂

荧光定量 Realtime PCR、RNA 抽提、逆转录试剂盒 (TakaRa 公司), Matrigel 胶和细胞培养池 (Becton Dickison 公

司)。LipofectamineTM 2000 (Invitrogen 公司)。MMP-9 Elisa 检测试剂盒购自 millipore 公司, Anti-Phospho- NF-K Bp65 一抗、GAPDH 一抗购自 millipore 公司, 二抗购自北京中杉公司。

1.4 仪器

低温离心机 (bio-rad 公司), 酶标仪 (Thermo 公司), 凝胶成像系统 (Bio-Rad 公司), 实时荧光定量基因扩增系统 (MJ 公司)。

1.5 方法

1.5.1 实验分组 C6 细胞在 37℃、5% CO₂、饱和湿度条件下用含 10% 胎牛血清 DMEM 高糖培养基培养 24 h 后分为三组: 对照组、无义序列组、ID1 siRNA 组。

1.5.2 总 RNA 提取及荧光定量逆转录聚合酶链反应 2~10×10⁵ 个细胞, 总 RNA 提取和逆转录按试剂盒说明书进行。荧光定量聚合酶链反应参见试剂盒说明书: 取 1 μl cDNA 样本作为 PCR 扩增模板, 阴性对照扩增模板为去离子水; 扩增条件为 95℃ 预变性 30s; 扩增条件为 95℃ 5s, 60℃ 30s, 72℃ 45s, 共 40 个循环。采用 "primer premier 5.0" 软件设计引物: ID1 上游: 5'

* 基金项目: 国家自然科学基金资助 (30901990)

作者简介: 田刚, 40 岁, 男, 副主任医师, 研究方向: 脑胶质瘤, E-mail: tiangang71@163.com

△通讯作者: 张翼冠, 35 岁, 男, 博士, 研究方向: 抗炎免疫药理学, 信号转导, 邮箱: yiguanzhang@126.com

(收稿日期: 2011-06-05 接受日期: 2011-06-30)

GGCGAAGTGGTGCTTGGTCT 3', ID1 下游: 5' GTTCTGAG-GCAGGGTAGGC 3', 产物长度: 166bp, 退火温度: 60°C; β -actin 上游: 5' CGTAAAGACCTCTAT GCCAACCA 3', β -actin 下游: 5' TAGGAGCCAGGGCAGTAATC 3, 产物长度: 100bp, 退火温度: 60°C。引物由上海生工合成。

1.5.3 siRNA 合成及转染 根据 ID1 序列和 siRNA 的设计原则, 针对 ID1 基因设计合成寡核苷酸序列: Sense strand siRNA: 5'CACCCUGUUCUCAGACUCCUU3', Antisense strand siRNA: 5'GGAGUCUGAGAACAGGGUGU3', 无义序列为: Sense strand siRNA: 5'CACUGCGCUCUUACUCACCUU3', Antisense strand siRNA: 5'GAGAGUCG AGGUGAGUCAGUU3'。转染操作按照试剂盒说明书进行: 6 孔板细胞密度达到 70%~80% 时吸去原培养基, 每孔加入 1.5ml 无血清、无抗生素 DMEM 高糖培养基培养基。取 10 μ l siRNA, 用 240 μ l Opti-MEM I 稀释, 轻轻混合均匀, 取 5 μ l LipofectamineTM 2000, 用 245 μ l/孔 Opti-MEM I 稀释, 轻轻混合后室温孵育 5min 后与稀释的 siRNA 轻轻混合, 室温静置 20min。将 500 μ l 混合液加入 6 孔板中, 轻轻摇晃孔板, 混匀。37°C 培养 6h, 吸去培养液, 加入 2ml 新鲜高糖培养基(加 10% 胎牛血清, 1% 双抗), 37°C 继续培养 48h。无义序列组转染无义序列, 空白组同步培养, 不做任何处理。

1.5.4 蛋白抽提及 western blot 取 200 μ l 蛋白裂解液(含蛋白酶抑制剂)加入到 6 孔板细胞内, 刮取细胞裂解液, 4°C 旋转 15 分钟后 4°C 10000g 离心 10min, 吸取上清。Western blot: 蛋白上样后 80v 电泳 2.5h, 100v 恒压湿转 1h, 转膜结束后脱脂奶粉封闭 30min, 加入一抗, 4°C 过夜。TBST 洗膜, 3 遍, 每次 10min。加入

二抗, 放室温 30min。TBST 洗膜, 3 遍, 每次 10min。EPL 显影液显影, 凝胶成像仪获取图像。

1.5.5 Boyden 小室法检测细胞侵袭力 取生长良好的 C6 细胞, 将细胞浓度调整为 1×10^5 /ml 的细胞悬液。取细胞悬液 250ul, 加入铺好基质凝胶的细胞培养池(Boyden 小室的上室)中, 分为三组: 空白组, 无义序列组, ID1siRNA 组, 常规培养 24h 后进行转染。转染后继续培养 36h, 细胞培养池放入 24 孔板, 加入细胞培养液 200 μ l, 培养 12h 后从 Boyden 小室中取出细胞培养池, 用棉签轻轻拭去 PET 膜上表面残留的细胞和基质凝胶后, 将其下表面浸泡于 70% 甲醇, 固定 30 分钟, 未结合型苏木素染色 10 分钟。在高倍镜下计数 PET 膜下面侵袭的细胞数, 计数中间和四周 5 个视野, 取平均值。

1.5.6 酶联免疫吸附试验(Elisa) 按试剂盒操作说明书进行。

1.5.7 统计学方法 所有数据以均数 \pm 标准差 ($\bar{x} \pm s$) 表示, 应用 SPSS 12.0 专业统计学软件对数据进行统计学处理, 统计学方法采用 χ^2 检验, 当 $P < 0.05$ 时认为有统计学意义。

2 结果

2.1 ID1 siRNA 干扰效率检测

本实验采用了 realtime RT-PCR 和 western blot 法检测了 ID1 siRNA 的干扰效率。结果如表 1, 图 1 所示: ID1 siRNA 能有效抑制 C6 细胞 ID1 mRNA 和蛋白的表达, 其 mRNA 抑制效率为 55.6%, 蛋白抑制效率为。

2.2 ID1 siRNA 对 C6 细胞侵袭转移能力的影响

表 1 C6 细胞 ID1 表达 ($\bar{x} \pm s$, n=4)

Tab.1 The expression of ID1 in C6 cells

Group	ID1 mRNA/ β -actin	ID1/GAPDH
Control	0.027 \pm 0.0043	0.91 \pm 0.14
Non sense	0.029 \pm 0.0041	0.93 \pm 0.15
siRNA	0.012 \pm 0.0024**	0.36 \pm 0.054**

Note: ** $p < 0.01$ vs control

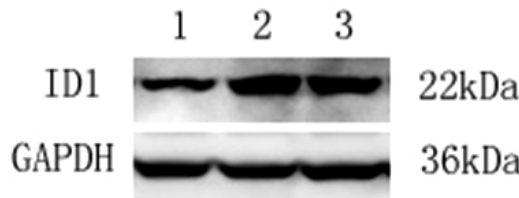


图 1 ID1 蛋白表达 1: siRNA 组, 2: 无义序列组, 3: 对照组

Fig.1 The expression of ID1 1: siRNA group, 2: non-sense group, 3: control group

本实验采用 Boyden 小室法检测了 ID1 siRNA 对 C6 细胞侵袭转移能力的影响。结果如表 2 所示: 干扰 ID1 后能明显降低 C6 细胞侵袭力。

2.3 ID1 siRNA 对 C6 细胞磷酸化 NF-Bp65、MMP-9 表达的影响

本实验采用 western blot 方法检测了 ID1siRNA 对 C6 细胞磷

酸化 NF-Bp65 表达的影响。采用 Elisa 方法测定了 C6 细胞培养上清中 MMP-9 的蛋白表达。结果如表 3、图 2 所示: ID1siRNA 能明显降低 C6 细胞磷酸化 NF-Bp65 蛋白、细胞培养上清中 MMP-9 的表达。

3 讨论

表 2 C6 细胞侵袭力 ($\bar{x} \pm s$, n=4)

Tab.2 The invasion ability of C6 cell

Group	Number of cell
Control	175.29 \pm 21.06
Non sense	184.36 \pm 21.85
siRNA	108.35 \pm 19.47**

Note: ** $p < 0.01$ vs control

表 3 C6 细胞磷酸化 NF-Bp65 蛋白、细胞培养上清中 MMP-9 的表达 ($\bar{x} \pm s$, n=4)

Tab.3 The expression of p-NF-Bp65 and MMP-9

Group	P-NF-Bp65/ GAPDH	MMP-9(ng/ml)
Control	0.75± 0.11	3.45± 0.49
Non sense	0.81± 0.14	3.31± 0.52
siRNA	0.29± 0.041**	1.27± 0.19**

Note: ** p<0.01 vs control

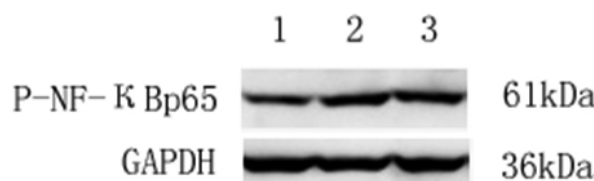


图 2 P-NF-Bp65 蛋白表达 1: siRNA 组, 2: 无义序列组, 3: 对照组
Fig.2 The expression of P-NF-Bp65 1: siRNA group, 2: non-sense group,
3: control group

分化抑制因子 Id1 属于 HLH 蛋白家族, 其 4 种同源系列 Id1、Id2、Id3 及 Id4 均可与碱性 HLH 蛋白作用, 阻碍 bHLH 和 DNA 的结合, 影响特异蛋白的表达、抑制细胞的分化, 故又被称为 DNA 结合抑制因子 (inhibitors of DNA binding)。Id1 在肿瘤中的作用愈发受到重视, 研究发现 Id1 的高表达可以激活 VEGF 的转录, 抑制血管生成抑制剂 TSP-1 的转录等多种途径促进肿瘤的血管生成^[3,4]。Id1 蛋白在恶性肿瘤血管生成中的作用近年备受关注, 但目前 Id1 蛋白与其他蛋白的相互作用机制及调控 Id1 基因表达的上游因子和 Id1 蛋白的下游效应子还不完全清楚。

NF-κB 是调节免疫反应、应激反应、凋亡和炎症的中心环节。NF-κB 活化后能调控一系列基因的表达, 如粘附分子家族的 ICAM-1、VCAM-1 等及前炎症性细胞因子 TNF-α、IL-18、IL-2、IL-6 等^[5,6]。当细胞处于静息状态时, NF-κB 处于细胞质中, 一旦细胞被相关刺激激活, NF-κB 就会转移到细胞核内行使功能, 作为开关调控各种下游基因的转录水平。NF-κB 在上游信号如 TNF-α、IL-1β、LPS 等的刺激下, IκBα、IκBβ 被降解, 释放出 p65 的入核序列, 结合到目的基因的启动子上。p65 本身还会受到一系列翻译后的修饰, 主要表现为磷酸化和乙酰化。磷酸化对 p65 的活化非常重要, PI-3K/Akt 通路在 p65 的活化过程中发挥重要作用^[7,8]。MMPs 对肿瘤侵袭和转移起重要作用, 其中最重要的是 MMP-2、MMP-9、MMP-7 和 MMP-3。MMPs 的功能之一是降解细胞外基质 (ECM), 在细胞迁移、血管生成、伤口愈合、胚胎发育、动脉粥样硬化、恶性肿瘤的浸润与转移等病理生理过程中发挥重要作用^[9,10]。恶性肿瘤细胞实现扩散转移过程中 ECM 的降解必不可少, 在肿瘤的浸润转移中 MMPs 各种基质降解酶的作用十分重要。

现有研究证实, ID1 能激活 PI-3K/Akt 信号通路, 后者在 p65 的活化过程中发挥重要作用^[11,12], ID1 的表达变化可能会影响 p65 的活化, 本实验发现, 过表达 ID1 能增强 p65 的活化, 而 NF-κB 的活化又能促进 MMPs 的表达^[13,14]。本研究证实, ID1 能

促进 C6 细胞的侵袭转移, 其机制可能与 PI-3K/Akt/NF-κB/MMP-9 信号通路有关。

参 考 文 献 (reference)

- [1] Yap WN, Zaiden N, Tan YL, et al. Id1, inhibitor of differentiation, is a key protein mediating anti-tumor responses of gamma-tocotrienol in breast cancer cells[J]. Cancer Lett, 2010, 291(2): 187-199
- [2] Healey MA, Deaton SL, Alder JK, et al. Id1 overexpression is independent of repression and epigenetic silencing of tumor suppressor genes in melanoma[J]. Epigenetics, 2010, 5(5): 410-421
- [3] Scharpfenecker M, van Dinther M, Liu Z, et al. BMP-9 signals via ALK1 and inhibits bFGF-induced endothelial cell proliferation and VEGF-stimulated angiogenesis [J]. J Cell Sci, 2007, 120 (Pt 6): 964-972
- [4] Yu Y, Gao Y, Qin J, et al. CCN1 promotes the differentiation of endothelial progenitor cells and reendothelialization in the early phase after vascular injury[J]. Basic Res Cardiol, 2010, 105(6): 713-724
- [5] Umesalma S, Sudhandiran G. Differential inhibitory effects of the polyphenol ellagic acid on inflammatory mediators NF-kappaB, iNOS, COX-2, TNF-alpha, and IL-6 in 1,2-dimethylhydrazine-induced rat colon carcinogenesis[J]. Basic Clin Pharmacol Toxicol, 2010, 107(2): 650-655
- [6] Kong HJ, Nam BH, Kim YO, et al. Characterization of the flounder IL-6 promoter and its regulation by the p65 NF-kappaB subunit[J]. Fish Shellfish Immunol, 2010, 28(5-6): 961-964
- [7] Ho HH, Chang CS, Ho WC, et al. Anti-metastasis effects of gallic acid on gastric cancer cells involves inhibition of NF-kappaB activity and downregulation of PI3K/AKT/small GTPase signals [J]. Food Chem Toxicol, 2010, 48(8-9): 2508-2516
- [8] Xu CQ, Liu BJ, Wu JF, et al. Icaritin attenuates LPS-induced acute inflammatory responses: involvement of PI3K/Akt and NF-kappaB signaling pathway[J]. Eur J Pharmacol, 2010, 642(1-3): 146-153
- [9] Chen NH, Liu JW, Zhong JJ. Ganoderic acid T inhibits tumor invasion in vitro and in vivo through inhibition of MMP expression [J]. Pharmacol Rep, 2010, 62(1): 150-163
- [10] Park JH, Jeong YJ, Park KK, et al. Melittin suppresses PMA-induced tumor cell invasion by inhibiting NF-kappaB and AP-1-dependent MMP-9 expression[J]. Mol Cells, 2010, 29(2): 209-215
- [11] Sun ZJ, Chen G, Hu X, et al. Activation of PI3K/Akt/IKK-alpha/NF-kappaB signaling pathway is required for the apoptosis-evasion in human salivary adenoid cystic carcinoma: its inhibition by quercetin[J]. Apoptosis, 2010, 15(7): 850-863

(下转第 4053 页)

- molecule and interleukin-12 in a murine hepatoma model[J].Int J Colorectal Dis. 2005, 20(6):494-501
- [4] Isayeva T, Ren C, Ponnazhagan S. Intraperitoneal gene therapy by rAAV provides long-term survival against epithelial ovarian cancer independently of survivin pathway[J].Gene Ther, 2007,14(2):138-146
- [5] 中华人民共和国卫生部药典委员会编. 中华人民共和国药典[M]. (1995年版)二部.北京:化学工业出版社,广东科技出版社,1995;附录 35,76,79,103
Ministry of Health Pharmacopoeia Committees's,Republic of China Pharmacopoeia [M]. (1995 edition) two. Beijing:Chemical Industry Press,Guangdong Science and Technology Press, 1995;Appendix 35,76,79,103
- [6] 张海涛, 李德春.¹²⁵I- 脱氧嘧啶核昔内照射治疗肝癌的实验研究[J]. 苏州大学学报(医学版), 2005;25(5):807-812
Zhang Hai-tao, Li De-chun.¹²⁵I-deoxy pyrimidine nucleoside irradiation treatment of liver cancer experimental study [J].Suzhou University (Medical Sciences),2005; 25 (5) :807-812
- [7] 李金泉, 鲍耀东, 周岱等. 125I-UdR 对人脑胶质瘤细胞 SHG44 的杀伤作用[J].核技术,2001,24(11):881-884
Li Jin-quan, Bao Yao-dong, Zhou Dai, et al.125I-UdR SHG44 human glioma cells in vitro [J].Nuclear technology, 2001,24 (11) :881-884
- [8] 张海涛, 张志德, 李金泉.125I- 脱氧尿嘧啶核昔对肝癌细胞 HepG2 生长的抑制作用[J]. 中华核医学杂志, 2002;22(5):286-287
Zhang Hai-tao, Zhang Zhi-de, Li Jin-quan.125I-deoxyuridine on growth inhibition of HepG2 hepatoma cells [J].Journal of Nuclear Medicine,2002;22 (5):286-287
- [9] Folkman J. Tumor angiogenesis: therapeutic implication [J].New Engl J Med,1971;285(21): 1182-1186
- [10] 李勇,杨海山,马铎.不同途径给予含血管内皮抑素基因的重组质粒的抑瘤作用研究[J].现代肿瘤医学杂志,2008,16(8):1269-1272
Li Yong, Yang Hai-shan, Ma Duo. Different ways to give including endostatin recombinant plasmid inhibitory effect of [J].Modern Oncology,2008,16 (8):1269-1272
- [11] Sun X, Vale M, Jiang X, et al. Antisense HIF-1alpha prevents acquired tumor resistance to angiostatin gene therapy [J].Cancer Gene Ther, 2010,17(8):532-540
- [12] Cavallarou C. Molecularmechanisms of tumor angiogenesis and tumor progression[J].Jneurooncol, 2000, 50(1 /2): 63-70
- [13] SIM BK, Macdonald NJ, Gubish ER. Angiostatin and endostatin: endogenous inhibitors of tumor growth [J].CancerMetastasisRev, 2000,19(1 /2): 181-190
- [14] Tong AW, Nemunaitis J, Su D, et al. Intratumoral injection of INGN 241,a nonreplicating adenovector expressing the melanoma-differentiation associated gene-7 (mda-7/IL24): biologic outcome in advanced cancer patients[J]. Mol Ther, 2005,11(1):160-172
- [15] Cunningham CC, Chada S, Merritt JA, et al.Clinical and local biological effects of an intratumoral injection of mda-7 (IL24;INGN 241) in patients with advanced carcinoma: a phase I study [J].Mol Ther,2005, 11(1):149-159

(上接第4049页)

- [12] Wang C, Li S, Wang MW. Evodiamine-induced human melanoma A375-S2 cell death was mediated by PI3K/Akt/caspase and Fas-L/NF-kappaB signaling pathways and augmented by ubiquitin-proteasome inhibition[J]. Toxicol In Vitro, 2010, 24(3): 898-904
- [13] Liu LP, Liang HF, Chen XP, et al.The role of NF-kappaB in Hepatitis b virus X protein-mediated upregulation of VEGF and MMPs[J]. Cancer Invest, 2010, 28(5): 443-451
- [14] Choi EM, Lee YS. Luteolin suppresses IL-1beta-induced cytokines and MMPs production via p38 MAPK, JNK, NF-kappaB and AP-1 activation in human synovial sarcoma cell line, SW982 [J]. Food Chem Toxicol, 2010, 48(10): 2607-2611